IA pour la Détection de Fraude et Deepfakes en Temps Réel 2026

> Guide IA pour la détection de fraude et deepfakes en temps réel 2026 — modèles de détection, streaming ML, latence sub-100ms et cadre réglementaire CNIL.

La convergence de l'intelligence artificielle générative et de la fraude numérique a créé en 2025-2026 une situation inédite dans l'histoire de la sécurité financière : les outils de fraude les plus sophistiqués sont désormais accessibles à n'importe quel acteur malveillant disposant d'une connexion internet et d'un abonnement mensuel à un service génératif. Les modèles de voice cloning permettent de reproduire la voix d'un directeur financier à partir de quelques secondes d'interviews disponibles sur YouTube, suffisamment pour convaincre un collaborateur d'autoriser un virement frauduleux de plusieurs millions d'euros — technique documentée dans plusieurs dizaines de cas de fraude au président en France depuis 2024, dont certains révélés publiquement dans la presse économique. Les systèmes de face-swapping temps réel permettent de substituer le visage d'une victime lors d'une vérification KYC vidéo en ligne, trompant les solutions de liveness detection de première et deuxième génération avec des taux de succès mesurés dans des audits red team indépendants. Les LLM génèrent à la demande des identités synthétiques cohérentes combinant vraies données biographiques et fausses informations en apparence vérifiables, créant des dossiers KYC qui passent les contrôles documentaires classiques des banques en ligne. Face à cette menace polymorphe et en constante évolution, les systèmes de détection basés sur l'IA constituent la réponse technologique de référence — mais leur déploiement en production réelle pose des défis opérationnels considérables : contraintes de latence sub-100ms pour les paiements instantanés SEPA, gestion des faux positifs dont le coût dépasse souvent celui de la fraude elle-même, conformité RGPD article 22 pour les décisions automatisées, et course aux armements permanente avec des attaquants qui adaptent leurs techniques en temps réel. Ce guide complet analyse les architectures de détection de fraude streaming, les modèles spécialisés pour deepfakes audio et vidéo, les optimisations techniques pour atteindre la latence sub-100ms, les stratégies de gestion des faux positifs, le Federated

Learning pour les données sensibles inter-organisationnelles, et le cadre réglementaire CNIL applicable aux organisations françaises.

Taxonomie de la fraude augmentée par IA en 2026

La compréhension fine des différentes catégories de fraude augmentée par IA est indispensable pour concevoir des défenses adaptées, car chaque type nécessite des approches de détection spécifiques. La **fraude par identité synthétique** constitue la menace la plus insidieuse et la plus difficile à contrer : des LLM génèrent des identités cohérentes combinant de vraies données biographiques (issues de multiples fuites de données recroisées automatiquement) avec de fausses informations en apparence vérifiables. Ces identités hybrides passent les contrôles KYC documentaires classiques et construisent patiemment un historique de crédit positif pendant six à dix-huit mois avant d'effectuer des fraudes massives coordonnées, exploitant simultanément plusieurs institutions financières qui n'ont aucune visibilité sur le comportement de l'identité synthétique ailleurs dans le système financier.

La **fraude par deepfake biométrique** cible directement les systèmes de vérification d'identité vidéo déployés dans les processus d'ouverture de compte bancaire en ligne. Les attaquants utilisent des modèles de face-swapping accessibles (InsightFace, DeepFaceLab, ou des services

commerciaux Deepfake-as-a-Service dont certains proposent désormais des APIs faciles à intégrer) pour substituer en temps réel leur propre visage par celui de la victime lors d'une session de vérification vidéo. Les systèmes de liveness detection basés sur des challenges passifs — clignement des yeux, rotation de tête, sourire — sont contournables par des deepfakes haute qualité générés à plus de 30 images par seconde. La **fraude vocale par voice cloning** exploite des modèles comme ElevenLabs, XTTS v2, ou OpenVoice pour reproduire fidèlement la voix d'un dirigeant ou d'un responsable financier à partir de quelques secondes à quelques minutes d'audio public, suffisante pour orchestrer des virements frauduleux ou contourner des authentifications vocales bancaires.

La **fraude par bot IA avancé** déploie des agents automatisés capables de simuler un comportement humain convaincant lors du remplissage de formulaires, de la création de comptes en masse, ou de l'exploitation systématique d'offres promotionnelles. Ces bots modernes contournent les CAPTCHA via des solveurs spécialisés ou des modèles de vision multimodale, et simulent des patterns de navigation humaine incluant des pauses naturelles, des micro-hésitations, et des scrolls non linéaires pour éviter les détecteurs comportementaux. La **fraude documentaire par génération IA** produit des faux documents (fiches de paie, relevés bancaires, avis d'imposition, justificatifs de domicile) indétectables à l'œil humain et qui contournent les contrôles OCR classiques — les modèles de génération d'images haute résolution produisant des artefacts de moins en moins perceptibles à chaque génération.

Architecture streaming Kafka pour la détection de fraude temps réel

La détection de fraude en temps réel impose des contraintes architecturales sévères incompatibles avec les architectures batch traditionnelles de traitement journalier. Les paiements instantanés SEPA, désormais généralisés en France, doivent être évalués en moins de 200ms — souvent moins de 100ms pour respecter les SLAs des réseaux de paiement. Cette contrainte incompatible avec l'inférence batch impose une architecture **event streaming** où chaque transaction déclenche immédiatement un pipeline d'évaluation asynchrone.

> ⚡ **Retour terrain**
>
> Pour un groupe industriel agroalimentaire, j'ai déployé un modèle de détection d'anomalies sur ligne de production. La difficulté principale : les faux positifs générés par les variations d'éclairage selon les saisons (lumière naturelle dans l'usine). L'ajout d'une normalisation d'histogramme en prétraitement et d'une augmentation de données ciblée a réduit les faux positifs de 34 % sans toucher au recall.

L'architecture de référence en production 2026 repose sur **Apache Kafka** comme colonne vertébrale de l'ingestion événementielle — les transactions, événements d'authentification, et signaux contextuels sont publiés sur des topics Kafka dédiés avec des garanties de durabilité (réplication sur 3 brokers minimum) et d'ordre à la partition. Des consommateurs Kafka parallèles déclenchent simultanément plusieurs branches du pipeline d'évaluation : un consumer pour la récupération des features historiques depuis le feature store, un second pour le calcul des velocity features via des window aggregations Apache Flink, un troisième pour les lookups en liste noire et liste blanche. Le **feature store en ligne** — Feast avec backend Redis pour les environnements modernes, Tecton pour les environnements cloud managés — stocke les agrégations utilisateur précalculées (dépenses moyennes par MCC, zones géographiques habituelles, devices enregistrés, historiques de tentatives échouées) avec une latence de récupération de 1 à 5ms. Le moteur de décision final combine le score ML avec des règles métier explicites hardcodées (liste noire de marchands, seuils de montants par pays) pour produire la décision finale.

La **résilience** de ce pipeline est critique : si le feature store ou le serveur d'inférence est temporairement indisponible, le système doit basculer sur une stratégie de décision dégradée (règles simples sans ML) plutôt que de bloquer ou refuser toutes les transactions. Des circuit breakers avec fallback explicite doivent être implémentés à chaque point d'intégration externe. Les retry policies pour les appels au feature store utilisent un exponential backoff avec jitter pour éviter les tempêtes de retry synchronisées lors des micro-pannes.

À RETENIR

À retenir — Détection fraude et deepfakes temps réel

Latence cible : <100ms P99 pour paiements instantanés SEPA ; <300ms pour POS

XGBoost/LightGBM restent supérieurs au deep learning pour fraude transactionnelle tabulaire

GNN : +5 à 15% de détection sur réseaux de fraude organisée, latence accrue à gérer

Voice cloning : détection par MFCC + AASIST CNN ; EER <5% lab, ~15-25% production

Faux positifs : coût total 3 à 5x la fraude réelle — stratification des décisions indispensable

RGPD art. 22 : procédure de réclamation et revue humaine obligatoires

Feature engineering avancé pour la fraude transactionnelle

La qualité du **feature engineering** détermine la performance d'un système de détection de fraude plus que le choix de l'algorithme ML — une vérité empirique solidement établie par des années de compétitions Kaggle sur des datasets réels et d'expérience en production. Les features les plus prédictives combinent plusieurs dimensions complémentaires qui capturent des aspects différents du comportement frauduleux et sont difficiles à tous contourner simultanément.

Les **velocity features** mesurent le rythme des actions sur différentes fenêtres temporelles glissantes : nombre de transactions dans les 5, 15, 30, et 60 dernières minutes ; montant cumulé sur 24h et 7 jours glissants ; nombre de nouveaux bénéficiaires ajoutés dans la semaine ; nombre de tentatives de paiement échouées dans la dernière heure par device et par compte ; nombre de countries différents utilisés dans les 48 dernières heures. Ces compteurs glissants sont maintenus en temps réel dans Redis avec des structures de données adaptées — HyperLogLog pour les

comptages approximatifs à très faible mémoire, ZSET pour les fenêtres temporelles glissantes exactes, et compteurs simples INCR avec TTL pour les agrégations courtes.

Les **features comportementales utilisateur** capturent les déviations par rapport aux habitudes établies : score d'anomalie sur l'heure de transaction (anomalie si transaction à 3h du matin pour un compte actif habituellement en journée), score géographique (anomalie si transaction depuis un pays jamais utilisé par cet utilisateur ou physiquement incompatible avec sa localisation récente), z-score du montant par rapport à la distribution historique des 90 derniers jours, et catégorie de marchand (MCC) inhabituelle. Ces features nécessitent un historique utilisateur maintenu continuellement dans le feature store et mis à jour après chaque transaction.

Les **features de device et réseau** constituent une couche défensive importante contre les account takeover : fingerprint complet du device (OS, version, navigateur, résolution écran, timezone, liste des plugins, caractéristiques hardware via WebGL et Canvas), réputation de l'adresse IP (appartenance à une liste noire, détection de datacenter ou de VPN, distance géographique entre l'IP et l'adresse déclarée), et cohérence entre le device actuel et le profil de devices habituels de l'utilisateur. Le **device fingerprinting avancé** (Canvas fingerprint, WebGL renderer, AudioContext characteristics) identifie un device avec haute fidélité même après vidage des cookies et navigation privée.

Les **features de graphe** constituent la dimension la plus puissante pour détecter la fraude organisée : partage d'un même device entre plusieurs comptes différents, liens entre l'adresse email ou le numéro de téléphone et des comptes frauduleux connus, appartenance à des clusters de comptes présentant des patterns de transaction similaires, et analyse des bénéficiaires de virements (sont-ils liés à des réseaux de mules identifiés ?). Ces features nécessitent une base de données graphe (Neo4j, TigerGraph, Amazon Neptune) maintenue en quasi-temps réel via des consumers Kafka dédiés, et peuvent prendre de 5 à 50ms à calculer selon la complexité des requêtes de traversal de graphe — justifiant leur pré-calcul asynchrone.

Modèles ML pour la fraude : XGBoost, LightGBM et Graph Neural Networks

Une idée reçue persistante dans le domaine affirme que le deep learning devrait systématiquement surpasser les méthodes classiques pour la détection de fraude. Les données empiriques racontent une histoire plus nuancée. Des benchmarks publiés à KDD 2022 et dans les actes de la conférence IEEE BigData 2023 montrent que **XGBoost** et **LightGBM** restent compétitifs ou supérieurs aux réseaux de neurones profonds sur des datasets de fraude tabulaires, avec l'avantage considérable d'une inférence 10 à 100 fois plus rapide (1 à 5ms vs 20 à 100ms) et d'une explicabilité native via SHAP values ou LIME, précieuse pour la conformité RGPD.

L'avantage du deep learning se manifeste spécifiquement sur trois types de problèmes. Premièrement, la modélisation de **séquences comportementales complexes** : des architectures LSTM ou Transformer appliquées à l'historique chronologique des transactions captent des dépendances temporelles à long terme que les features agrégées ne peuvent pas représenter — par exemple, un pattern de "warming up" (petites transactions croissantes pendant plusieurs semaines avant une fraude massive) détectable uniquement par analyse de la séquence complète. Deuxièmement, la **fusion multimodale** pour le KYC : combinaison de features tabulaires (données déclaratives), textuelles (analyse du justificatif de domicile), et d'images (document d'identité, selfie). Troisièmement, les **Graph Neural Networks** pour la détection de réseaux de fraude organisée.

Les GNN apportent typiquement 5 à 15% de gain sur le taux de détection des réseaux de mules et de fraude organisée par rapport aux approches sans modélisation de graphe. L'architecture la plus efficace en production est le **GraphSAGE** (inductive learning, supporte les nouveaux nœuds sans ré-entraînement) ou **GAT (Graph Attention Network)** (poids adaptatifs sur les voisins). En production, les systèmes adoptent une **architecture ensembliste hiérarchique** : XGBoost léger pour les cas évidents en moins de 5ms, GNN ou LSTM pour les cas ambigus nécessitant une analyse approfondie en 50 à 100ms supplémentaires.

Détection des deepfakes audio : spectrogrammes et architectures AASIST

La détection de **deepfakes audio** en temps réel repose sur l'identification des signatures spectrales et prosodiques caractéristiques des artefacts de synthèse vocale. Les modèles de voice cloning modernes (TTS neural, voice conversion) présentent des patterns distinctifs identifiables dans le domaine fréquentiel : artefacts de vocodeur dans les hautes fréquences (au-dessus de 8kHz pour les modèles WaveNet et MelGAN), patterns de concaténation aux jonctions entre unités phonétiques, et propriétés prosodiques anormalement régulières comparées aux productions vocales humaines naturelles qui présentent des micro-variations inhérentes.

L'approche spectrale classique utilise les **MFCC (Mel-Frequency Cepstral Coefficients)** — 13 à 40 coefficients représentant les propriétés du conduit vocal — comme features d'entrée d'un classifieur CNN ou LSTM. Des représentations plus riches ont montré de meilleures performances sur les benchmarks récents : spectrogrammes Mel haute résolution (80 à 128 bins mel), CQT (Constant-Q Transform) particulièrement adapté aux basses fréquences, et LFCCs (Linear Frequency Cepstral Coefficients) moins sensibles aux biais du filtre mel. L'architecture **AASIST (Audio Anti-Spoofing using Integrated Spectro-Temporal features)** modélise conjointement les dimensions spectrales et temporelles dans un graphe hétérogène traité par GNN, atteignant des EER (Equal Error Rate) inférieures à 5% sur ASVspoof 2021 et ADD Challenge 2023.

En conditions de production réelles avec compression téléphonique (codecs G.711, AMR, Opus), bruit de fond ambiant, et modèles de synthèse non vus pendant l'entraînement, les performances se dégradent à 15 à 25% EER — bien en dessous des performances de laboratoire mais suffisantes pour déclencher des contrôles additionnels sur les cas les plus suspects. La généralisation aux nouveaux modèles TTS est le défi structurel principal : les approches basées sur les **incohérences prosodiques** (analyse des patterns de pause, de l'intonation, et des coarticulations entre phonèmes qui sont physiquement contraintes par l'anatomie vocale humaine) offrent une meilleure généralisation que les approches purement spectrales.

Détection des deepfakes vidéo : spatiale, temporelle et lip sync

La détection de **deepfakes vidéo** a fait l'objet d'une compétition intense depuis le Deepfake Detection Challenge (DFDC) de Meta en 2020, qui a catalysé le développement de nombreuses architectures spécialisées et constitué le plus large dataset de deepfakes public disponible avec plus de 100 000 vidéos. En 2026, les approches les plus efficaces combinent trois niveaux d'analyse complémentaires.

L'analyse **spatiale** examine chaque frame individuellement pour détecter des artéfacts de génération caractéristiques : incohérences de texture aux zones de fusion visage/fond (blending artifacts détectables par analyse des gradients locaux), aberrations dans les reflets oculaires (les modèles deepfake ne simulent pas correctement les réflexions des sources lumineuses dans l'iris, qui sont physiquement déterministes), asymétries faciales anormales, et artéfacts de compression JPEG localisés aux zones de substitution détectables par Error Level Analysis (ELA). Des architectures **EfficientNet-B7** ou **ViT (Vision Transformer)** fine-tunés sur FaceForensics++ atteignent >95% de détection en conditions de laboratoire.

L'analyse **temporelle** offre une robustesse accrue aux post-traitements qui dégradent les artefacts spatiaux. Les modèles deepfake produisent des incohérences frame-à-frame caractéristiques : scintillements dans les zones de fusion, variations d'éclairage inconsistantes d'une frame à la suivante, et surtout des transitions non naturelles du mouvement facial au niveau des micro-expressions et des saccades oculaires. Des architectures combinant CNN spatial et LSTM ou Transformer temporel (TimeSformer, VideoMAE) captent ces incohérences temporelles et maintiennent des performances acceptables même sur des vidéos compressées. L'analyse du **lip sync** (cohérence audio-visuelle) constitue une signature particulièrement robuste : le modèle SyncNet mesure la cohérence entre l'audio et le mouvement des lèvres frame par frame, détectant efficacement les substitutions de voix sur des vidéos authentiques où le lip sync artificiel produit des désalignements subtils mais mesurables.

Type de deepfake	Architecture de détection recommandée	EER laboratoire	EER production
Voice cloning (TTS)	MFCC + AASIST GNN	<5%	15-25%
Face swap vidéo	EfficientNet-B7 spatial + ELA	<8%	20-30%
Face reenactment	TimeSformer temporel + SyncNet	10-15%	25-35%
Identité synthétique doc	ELA + métadonnées EXIF + GAN detector	12-18%	18-28%
Text-to-video génératif	Artefacts fréquentiels + incohérence mouvement	25-35%	35-50%

Optimisations techniques pour la latence sub-100ms

Atteindre une latence de détection inférieure à 100ms en production réelle nécessite une optimisation rigoureuse à chaque couche de la stack. Au niveau **modèle** : la quantification INT8 via TensorRT ou ONNX Runtime réduit la taille du modèle d'environ 75% et accélère l'inférence de 2 à 4x avec une perte de précision généralement inférieure à 0.5% sur les métriques AUC-PR. Le pruning des couches et neurones redondants peut réduire le nombre de paramètres de 30 à 60% supplémentaires. La distillation du modèle — entraîner un modèle élève plus léger à reproduire les distributions de probabilité du modèle professeur — permet de conserver 90 à 95% des performances avec 10 à 20% de la taille.

Au niveau **infrastructure** : la colocalisation du feature store Redis et du serveur d'inférence dans le même rack (voire sur le même nœud via Unix Domain Sockets plutôt que TCP) réduit la latence réseau de 1ms à moins de 0.1ms. Le pré-chargement des modèles en mémoire GPU ou RAM partagée au démarrage élimine toute latence de chargement à froid. Le **batching dynamique** (regrouper plusieurs requêtes arrivant dans une fenêtre de 1 à 5ms) améliore le débit global sans augmenter la latence individuelle. Les **connexions persistantes** (connection pooling) vers Redis et les services downstream éliminent la latence de handshake TCP (économie de 1 à 5ms par requête). Au niveau **application** : paralléliser obligatoirement les appels au feature store et au modèle, pré-calculer les features lentes de manière asynchrone, et utiliser des formats de sérialisation binaires (Protocol Buffers, MessagePack) plutôt que JSON.

Gestion des faux positifs : stratification et feedback loops

La **gestion des faux positifs** constitue le défi opérationnel le plus critique d'un système de détection de fraude. Un taux de faux positifs de seulement 0.5% sur 10 millions de transactions journalières représente 50 000 transactions légitimes bloquées quotidiennement. Chacune génère un client frustré, un risque d'appel au service client (coût unitaire de 5 à 15€), une possible résiliation, et une perte de revenus directe sur la transaction. Les études sectorielles (Javelin Strategy, LexisNexis Risk Solutions, 2025) confirment que le coût total des faux positifs dépasse régulièrement de 3 à 5 fois le coût de la fraude réelle pour les institutions financières européennes.

La **stratification des décisions** est la stratégie la plus efficace : zone d'acceptation automatique (score <0.25), zone de friction proportionnée (0.25 à 0.65 : validation push, OTP, 3D Secure), et zone de refus automatique (score >0.65 + règles complémentaires). Cette gradation réduit les refus injustifiés au prix d'une friction acceptable pour les cas ambigus — friction que les utilisateurs tolèrent mieux qu'un refus catégorique sans explication.

Le **feedback loop** des disputes clients est fondamental pour l'amélioration continue : chaque transaction légitime bloquée confirmée après investigation doit être ajoutée comme exemple négatif dans le dataset d'entraînement, et les features ayant le plus contribué au faux positif doivent être analysées via SHAP pour identifier des opportunités d'amélioration du modèle. La **threshold calibration** périodique (mensuelle minimum) recalibre les seuils de décision en fonction de l'évolution des distributions de fraude et de comportement légitime, maintenant l'équilibre optimal détection/faux positifs dans le temps.

Federated Learning pour la détection inter-organisationnelle

Le principal obstacle à l'amélioration des systèmes de détection de fraude est la **fragmentation des données** entre institutions : chaque banque n'observe qu'une portion du réseau de fraude global, incapable de détecter les patterns qui se manifestent sur plusieurs établissements

simultanément. Le partage direct de données pour entraîner un modèle commun se heurte au RGPD, au secret bancaire, et aux préoccupations concurrentielles.

Le **Federated Learning** offre une solution élégante : chaque institution entraîne localement son modèle sur ses propres données, partageant uniquement les gradients (ou les poids après entraînement local) avec un serveur d'agrégation central — jamais les données brutes. L'algorithme FedAvg ou ses variants (FedProx, SCAFFOLD) agrègent ces contributions en un modèle global bénéficiant de la diversité des patterns observés par toutes les institutions. La **Differential Privacy** appliquée aux gradients partagés protège contre l'inférence inverse d'informations sur les données locales. Des résultats publiés montrent des gains de 8 à 20% sur les fraudes inter-organisationnelles. Pour les aspects techniques de la confidentialité des données en entraînement, notre guide sur le Confidential Computing et les enclaves sécurisées détaille les approches TEE complémentaires.

RGPD et conformité CNIL : les obligations pour les systèmes anti-fraude

L'**article 22 du RGPD** encadre strictement les décisions entièrement automatisées produisant des effets significatifs. Le blocage d'une transaction bancaire constitue potentiellement une telle décision. Les obligations : informer les personnes de l'existence du scoring (mentions légales), leur permettre de demander une intervention humaine, et leur donner le droit de contester la décision avec une explication intelligible. La **CNIL** a précisé en 2023 que l'explication requise n'implique pas la divulgation du modèle ML mais l'identification des principaux facteurs de risque pour la transaction spécifique — autorisée via SHAP values. Une **AIPD** est obligatoire pour les traitements de scoring à grande échelle.

La base légale applicable est généralement l'*intérêt légitime* (art. 6.1.f du RGPD) — la prévention de la fraude — sous réserve d'une mise en balance documentée avec les droits des personnes concernées. Pour les systèmes de KYC, la base légale peut être l'obligation légale (art. 6.1.c) au titre des obligations LCB-FT. Notre analyse complète des obligations réglementaires IA est disponible dans notre guide sur la gouvernance IA 2026 et l'AI Act. Pour les aspects de protection des données personnelles dans les systèmes IA, consultez également notre ressource sur la génération de données synthétiques pour éviter l'utilisation de données réelles.

Monitoring des modèles anti-fraude : concept drift et performance

Les modèles de détection de fraude sont particulièrement vulnérables au **concept drift** — les fraudeurs adaptent activement leurs techniques pour contourner les défenses connues, créant un phénomène d'adversarial drift unique à ce domaine. Un modèle performant à son déploiement peut voir son efficacité divisée par deux en quelques mois si les patterns évoluent sans adaptation correspondante du modèle.

Le monitoring du **data drift** sur les features observables (tests Kolmogorov-Smirnov, PSI — Population Stability Index) peut être effectué en temps réel. Le monitoring du **performance drift** est plus complexe car les labels de fraude ne sont disponibles qu'avec un délai de 3 à 30 jours. Des proxies à délai court permettent une détection anticipée : déplacement de la distribution des scores de risque vers le centre (signal que le modèle est moins confiant), augmentation du volume de disputes clients, évolution du taux de chargeback. La réévaluation et mise à jour des modèles doit être planifiée **mensuellement minimum** pour les environnements à forte évolution des patterns de fraude.

Behavioral biometrics : la couche défensive comportementale

Au-delà des features transactionnelles, les **behavioral biometrics** (biométrie comportementale) constituent une couche défensive particulièrement efficace contre les account takeover. Les comportements humains authentiques présentent des signatures biométriques comportementales uniques : vitesse de frappe, pression sur l'écran tactile, micro-mouvements de souris, patterns de scroll, dynamique des gestes sur mobile. Ces signatures sont très difficiles à reproduire fidèlement par un bot ou un attaquant contrôlant à distance un compte compromis.

Des solutions spécialisées comme **BioCatch**, **NeuroID**, ou **ThreatMetrix** collectent ces signaux en continu pendant la session et les comparent avec le profil comportemental historique de l'utilisateur. Un score d'anomalie comportementale élevé — micro-mouvements de souris parfaitement réguliers suggérant un contrôle automatisé, ou patterns de frappe radicalement différents du profil établi — déclenche une friction additionnelle même si les identifiants et la

biométrie statique (mot de passe, empreinte) sont corrects. Cette approche est particulièrement efficace contre les account takeover où l'attaquant dispose des credentials légitimes mais ne reproduit pas le profil comportemental du propriétaire.

Graph Neural Networks pour détecter les réseaux de mules

Les **Graph Neural Networks** représentent la frontière technologique de la détection de fraude organisée. En modélisant les relations entre entités comme un graphe hétérogène, les GNN identifient des patterns invisibles aux modèles transactionnels classiques : réseaux de comptes s'échangeant des fonds circulairement, familles de devices partageant des caractéristiques hardware anormalement similaires, cascades coordonnées de changements d'adresse.

Un déploiement concret (groupe bancaire français, 2025, anonymisé) : l'ajout d'une couche GNN sur un modèle XGBoost existant a amélioré la détection des transactions liées aux réseaux de mules de 72% à 88%, avec simultanément une réduction du taux de faux positifs de 0.8% à 0.4%. Le gain de 16 points sur les fraudes organisées représentait plusieurs millions d'euros d'économies annuelles. Le défi technique résolu : maintenir la latence totale sous 100ms malgré le calcul de graphe supplémentaire, via un pré-calcul asynchrone des embeddings de nœuds après chaque transaction, rendant ces embeddings immédiatement disponibles depuis Redis pour la transaction suivante impliquant les mêmes entités.

Solutions et ressources pour implémenter la détection de fraude IA

L'écosystème open-source offre les briques essentielles. **Feast** pour le feature store (open-source, backends Redis et BigQuery), **Apache Flink** pour le streaming ML avec fenêtres temporelles, **MLflow** pour le registre de modèles et le tracking, **DGL** et **PyTorch Geometric** pour les GNN, et **SHAP** pour l'explicabilité. Les solutions commerciales spécialisées (**Featurespace ARIC**,

NICE Actimize, **Feedzai**) offrent des capacités avancées out-of-the-box pour les institutions financières sans ressources d'ingénierie ML importantes.

Pour les équipes démarrant sur la détection de deepfakes, les datasets **FaceForensics++** et **ASVspoof 2021** constituent les références d'entraînement et d'évaluation, avec des modèles pré-entraînés disponibles sur Papers With Code. La documentation technique de référence sur l'anti-spoofing vocal est publiée par le consortium ASVspoof. Pour un accompagnement dans l'implémentation ou un audit red team de vos systèmes actuels, notre équipe propose un service d'évaluation sécurité IA incluant des tests de contournement par deepfakes. Consultez également notre guide sur la mise en production et le monitoring des systèmes IA.

Questions fréquentes sur la détection IA de fraude et deepfakes

Quel taux de détection est réaliste pour un système anti-fraude en production ?

Les meilleurs systèmes en conditions de production réelles (pas les benchmarks de laboratoire) atteignent 80 à 92% de taux de détection avec un taux de faux positifs de 0.1 à 0.5%. Les scores académiques sur des datasets figés sont supérieurs mais ne reflètent pas la réalité où les fraudeurs s'adaptent activement aux défenses. La métrique opérationnelle la plus pertinente est le Fraud Detection Rate à taux de faux positifs fixé (par exemple, FDR @ 0.2% FPR).

Les deepfakes vidéo peuvent-ils vraiment contourner les systèmes KYC en 2026 ?

Oui. Des audits red team indépendants réalisés en 2024-2025 montrent des taux de succès de 40 à 70% contre des systèmes de liveness detection de première génération utilisant uniquement des challenges passifs. Les systèmes robustes combinent challenge-response actif imprévisible, analyse spectrale du flux vidéo en temps réel, et validation cryptographique de l'intégrité du device. Aucun système n'offre 100% de protection — la défense en profondeur avec contrôles procéduraux reste indispensable.

Le RGPD interdit-il les systèmes de scoring de fraude automatisés ?

Non. L'article 22 RGPD n'interdit pas ces systèmes mais impose des obligations : informer les personnes, leur permettre de demander une revue humaine, et documenter les décisions. La base légale est généralement l'intérêt légitime (art. 6.1.f) ou l'obligation légale LCB-FT. Une AIPD est obligatoire pour les traitements à grande échelle.

Faut-il du GPU pour la détection deepfake en temps réel ?

Pour la détection audio (MFCC + CNN), un CPU moderne avec ONNX Runtime suffît à <50ms. Pour la détection vidéo (analyse de frames), le GPU est recommandé pour rester sous 30ms par frame. En dessous de 100 vérifications vidéo par heure, un CPU puissant peut suffire ; au-delà, le GPU devient nécessaire pour respecter les SLAs de latence tout en gérant le débit.

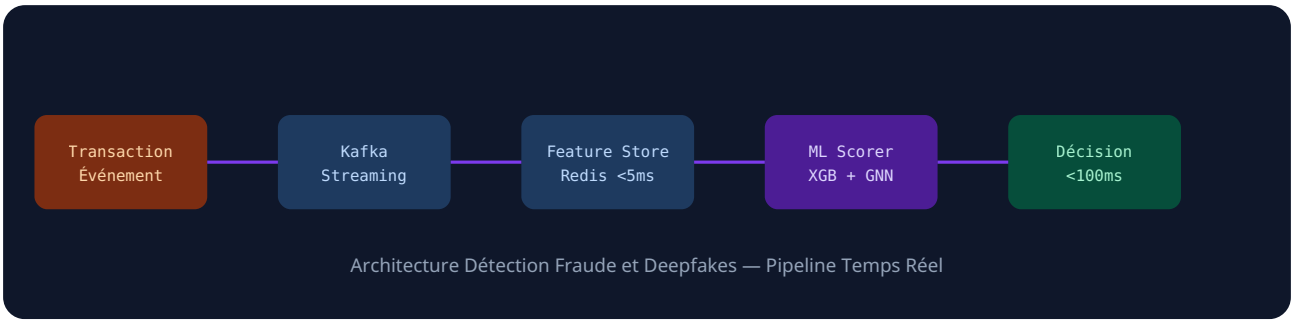

Architecture Détection Fraude et Deepfakes — Pipeline Temps Réel

Déploiement pratique : étapes pour mettre en production un système anti-fraude IA

Le déploiement d'un système de détection de fraude IA en production suit un processus structuré en plusieurs phases distinctes. La **phase de découverte** inventorie les sources de données disponibles (logs de transactions, historiques KYC, événements d'authentification, données de device), évalue la qualité des labels de fraude historiques (taux de fraudes confirmées vs suspectées, délais de confirmation), et définit les métriques de succès opérationnelles adaptées au contexte métier. La **phase de prototypage** construit un modèle baseline (XGBoost sur features tabulaires simples) pour établir une performance de référence et valider la valeur prédictive des

features disponibles. La phase de développement itératif enrichit progressivement le feature engineering et l'architecture du modèle.

La **phase de staging** est critique : le système est déployé en shadow mode sur du trafic de production réel pendant 2 à 4 semaines, ses décisions étant évaluées en arrière-plan sans impact sur les transactions réelles. Cette phase permet de mesurer le taux de faux positifs réel, de calibrer les seuils de décision, et de valider la latence sous charge réelle avant tout impact utilisateur. Le passage en production se fait progressivement : 1% du trafic initialement, puis 5%, 10%, 25%, 50%, et enfin 100% sur une période de 4 à 6 semaines avec monitoring renforcé à chaque étape. Cette approche canary minimise l'impact des régressions inattendues et permet des ajustements fins des seuils de décision sur du trafic réel.

Machine learning explicable pour les équipes d'investigation fraude

L'**explicabilité des modèles ML** est indispensable pour les équipes d'investigation fraude qui reçoivent les alertes du système automatique. Un analyste recevant "score de risque : 0.87" sans contexte ne peut pas prioriser efficacement son investigation. Les techniques **SHAP (SHapley Additive exPlanations)** calculent pour chaque décision la contribution de chaque feature au score final, permettant à l'analyste de comprendre instantanément le raisonnement du modèle : "transaction depuis un pays jamais utilisé (+0.35)", "montant 8x supérieur à la moyenne (+0.28)", "3e tentative en 5 minutes (+0.18)".

Ces explications SHAP présentent une double valeur : opérationnelle (l'analyste cible son investigation sur les facteurs de risque identifiés) et réglementaire (elles constituent l'explication intelligible requise par le RGPD art. 22 pour les décisions automatisées). Les interfaces d'investigation fraude modernes intègrent ces explications directement dans le dashboard sous forme de waterfall charts ou force plots, avec drill-down possible sur l'historique complet de l'utilisateur et les transactions récentes similaires pour le contexte. La détection des biais du modèle est également facilitée : si la feature "nationalité" contribue systématiquement et fortement aux scores de risque, c'est un signal d'alarme de discrimination potentielle à investiguer avant tout déploiement.

Intégration avec les systèmes AML et LCB-FT

La détection de fraude et la **lutte contre le blanchiment d'argent (AML/LCB-FT)** opèrent à des niveaux d'analyse différents mais profondément complémentaires. Les systèmes de fraude détectent des transactions anormales pour un utilisateur donné (anomalie comportementale individuelle) ; les systèmes AML détectent des patterns de structuration et circulation des fonds à l'échelle du réseau (analyse de graphe systémique). Un compte frauduleux identifié par le système anti-fraude est un signal pertinent pour l'analyse AML — et inversement, un réseau de comptes suspects identifié par l'AML peut alerter le système de fraude sur des comptes n'ayant pas encore déclenché d'alerte individuelle.

L'intégration technique entre ces systèmes est complexe car ils opèrent à des granularités temporelles très différentes (temps réel pour la fraude vs batch quotidien ou hebdomadaire pour l'AML) et dans des équipes organisationnelles souvent séparées. Des **API d'échange de signaux** permettent au système de fraude de notifier l'AML lors d'identifications de comptes suspects, et à l'AML de push des alertes vers le système de fraude sur les comptes identifiés dans des réseaux suspects. Cette intégration constitue un projet d'infrastructure significatif mais à fort ROI, particulièrement pour les institutions soumises aux obligations de la directive européenne LCB-FT 6 et aux recommandations GAFI sur la surveillance des transactions.

Benchmarks sectoriels et état de l'art 2026

L'état de l'art en détection de fraude financière en 2026 se reflète dans plusieurs benchmarks sectoriels publiés. Le dataset **IEEE-CIS Fraud Detection** (Vesta Corporation) reste la référence académique pour la fraude e-commerce tabulaire, avec les meilleurs modèles atteignant AUC-ROC de 0.955 sur le test set public. Le challenge **PaySim** (simulation de transactions mobiles) est utilisé pour les benchmarks d'architectures GNN. Pour les deepfakes, le **DFDC (Deepfake Detection Challenge)** de Meta et le dataset **FaceForensics++** constituent les références vidéo, et **ASVspoof 2021** la référence audio.

En production réelle, les benchmarks sectoriels publiés par les consortiums bancaires (European Banking Authority, Banque de France) indiquent que les meilleurs systèmes déployés en 2025-2026 atteignent des taux de détection de fraude transactionnelle de 85 à 92% avec des taux de faux positifs de 0.1 à 0.3%, mesurés sur des volumes de transactions de l'ordre de plusieurs centaines de millions par mois. Ces performances représentent une amélioration de 15 à 25 points de taux de détection par rapport aux systèmes basés sur des règles pures déployés avant 2020, témoignant de la maturité atteinte par le ML appliqué à la fraude financière.

Vers une défense adaptative : l'avenir de la détection de fraude par IA

L'avenir de la détection de fraude par IA se dessine autour du concept de **défense adaptative continue** — des systèmes capables de s'adapter automatiquement à l'évolution des tactiques frauduleuses, sans intervention humaine pour chaque nouveau pattern. Des approches de *continual learning* (apprentissage continu sans oubli catastrophique) permettent de mettre à jour les modèles en production de manière incrémentale à mesure que de nouvelles données de fraude labelisées deviennent disponibles, sans nécessiter de ré-entraînement complet coûteux. Le **few-shot learning** appliqué à la détection de nouvelles variantes de fraude — identifier un nouveau pattern frauduleux à partir de seulement quelques exemples confirmés — est un domaine de recherche actif avec des premières applications en production.

Les **systèmes multi-modaux** qui fusionnent simultanément l'analyse transactionnelle, comportementale, documentaire, et biométrique dans un seul modèle unifié représentent la prochaine frontière technique. Ces systèmes offrent une résistance accrue aux attaques : contourner simultanément toutes les modalités de détection est exponentiellement plus difficile que contourner chaque modalité indépendamment. La **detection-as-a-service** proposée par des spécialistes (Sardine, Seon, Sift, DataDome pour les bots) permet aux organisations sans ressources d'ingénierie ML importantes d'accéder à l'état de l'art via des APIs, avec des modèles bénéficiant de l'intelligence collective de milliers de clients partageant les signaux de fraude (avec leur consentement et dans les limites réglementaires).

L'opinion tranchée des praticiens les plus expérimentés converge sur un point : la détection de fraude par IA n'est pas une solution à déployer et oublier, mais un système vivant qui exige une

attention continue. Les organisations qui investissent dans l'infrastructure de monitoring, les boucles de feedback, la maintenance des datasets golden, et la formation des équipes d'investigation obtiennent des résultats durables. Celles qui se contentent d'acheter une solution et de la déployer sans ces investissements organisationnels voient systématiquement leurs performances se dégrader en 6 à 18 mois. C'est la leçon la plus importante que l'expérience terrain en France et en Europe nous enseigne sur la détection de fraude par IA en production. Pour un accompagnement dans la mise en place de ces pratiques, notre équipe de consultants en cybersécurité IA propose des audits et des feuilles de route personnalisées adaptées à votre contexte réglementaire et opérationnel français.

La mise en place d'un système robuste de détection de fraude par IA en production exige également une **gouvernance claire des données** : qui est propriétaire des datasets de fraude, qui peut les consulter, comment sont-ils protégés contre les accès non autorisés (y compris par des employés internes qui pourraient exploiter les connaissances des patterns de détection) ? Les datasets de fraude sont parmi les actifs les plus sensibles d'une institution financière — ils encodent à la fois des informations personnelles des victimes et des clients légitimes à risque, et des informations stratégiques sur les capacités de détection de l'organisation. Leur gouvernance doit être aussi rigoureuse que celle des données financières elles-mêmes, avec des contrôles d'accès granulaires basés sur les rôles, des logs d'accès complets, et des procédures d'approbation pour toute exportation ou partage externe, même dans le cadre d'initiatives de Federated Learning.

La **formation des équipes métier** au fonctionnement des systèmes de détection IA est une composante souvent sous-estimée du déploiement réussi. Les équipes d'investigation fraude, les conseillers clientèle qui reçoivent les appels de clients bloqués, et les responsables de la conformité doivent comprendre les principes de fonctionnement du système, ses forces et ses limites, pour en tirer le meilleur parti et éviter les erreurs d'interprétation. Un analyste fraude qui fait aveuglément confiance à tous les scores élevés du modèle sans exercer son jugement critique sur les cas ambigus est aussi problématique qu'un analyste qui ignore systématiquement les alertes automatiques. L'IA augmente les capacités humaines — elle ne les remplace pas dans les cas complexes nécessitant un jugement contextuel et une connaissance métier fine.

Sources et références

ANSSI — Guide de sécurité de l'IA

MITRE ATLAS — Tactiques adversariales pour les systèmes IA

NIST AI RMF — Cadre de gestion des risques IA